

Признаки дополнительных измерений в гравитационных волнах

М.Ю. Хлопунов^{1,2} и Д.В. Гальцов¹



¹Физический факультет, МГУ имени М.В. Ломоносова, Москва, Россия

²Институт Теоретической и Математической Физики, МГУ имени М.В. Ломоносова, Москва, Россия

E-mail: khlopunov.mi14@physics.msu.ru, galtsov@physics.msu.ru

Аннотация

Нечетное число дополнительных измерений пространства-времени может проявиться в гравитационных волнах за счет нарушения принципа Гюйгенса в нечетных размерностях. Мы изучаем соответствующие эффекты в излучении в модели скалярного поля в размерности три. Также мы изучаем гравитационное излучение двойной системы в Теории Относительности с одним бесконечным дополнительным измерением. Мы также изучаем эффект утечки излучения с браны в рамках скалярного аналога DGP-модели и обсуждаем возможность его экспериментального обнаружения.

Нарушение принципа Гюйгенса

Запаздывающая функция Грина безмассового поля в пространстве Минковского размерности D определяется уравнением

$$\square G_D(x) = \delta^{(D)}(x), \\ G_D(x) = 0, \quad x^0 < 0.$$

В нечетных размерностях функции Грина локализованы внутри светового конуса [1]

$$G_{2n+1}(x) = \frac{(-1)^{n-1}}{(2\pi)^{n-1}} \left(\frac{1}{r} \frac{d}{dr} \right)^{n-1} G_3(x), \\ G_3(x) = \frac{\theta(t)}{2\pi} \frac{\theta(x^2)}{\sqrt{x^2}}, \quad t = x^0, \quad r = |\mathbf{x}|, \\ G_5(x) = \frac{\theta(t)}{2\pi^2} \left[\frac{\delta(x^2)}{\sqrt{x^2}} - \frac{1}{2} \frac{\theta(x^2)}{(x^2)^{3/2}} \right].$$

Запаздывающие безмассовые поля в нечетных размерностях:

- распространяются со всеми скоростями вплоть до скорости света,
- зависят от полной истории движения источника, предшествующей запаздывающему времени.

Подход Рорлиха-Тейтельбайма

Для частицы с мировой линией $z^\mu(\tau)$ и точки наблюдения x^μ запаздывающее собственное время $\hat{\tau}$ определяется как (см. рис. (1))

$$(x^\mu - \hat{z}^\mu)^2 = 0, \quad x^0 > \hat{z}^0, \quad \hat{z}^\mu \equiv z^\mu(\hat{\tau}).$$

Введем три D -вектора и определим с их помощью Лоренц-инвариантное расстояние \hat{r} [2,3] (см. рис. (1))

$$\hat{X}^\mu = x^\mu - \hat{z}^\mu, \quad \hat{X}^2 = 0 \\ \hat{u}^\mu, \quad \hat{u}^2 = -1, \quad \hat{v}\hat{u} = 0 \implies \hat{X}^\mu = \hat{v}\hat{c}^\mu \\ \hat{c}^\mu = \hat{v}^\mu + \hat{u}^\mu, \quad \hat{c}^2 = 0$$

В подходе Рорлиха-Тейтельбайма излучаемая часть тензора энергии-импульса запаздывающего поля определяется как дальнодействующая часть его разложения по обратным степеням \hat{r} [2,3]

$$T_{\text{rad}}^{\mu\nu} \sim 1/\hat{r}^{D-2}, \quad \partial_\mu T_{\text{rad}}^{\mu\nu} = 0, \quad T_{\text{rad}}^{\mu\nu} \sim \hat{c}^\mu \hat{c}^\nu.$$

Поток энергии излучения через удаленную ($D-2$)-мерную сферу радиуса r определяется как

$$W_D = \int d\Omega_{D-2} T_{\text{rad}}^{0i} n^i r^{D-2}.$$

В теориях с ТЭИ билинейным по производным поля можно определить излучаемую часть поля

$$T \sim \partial\Phi \partial\Phi, \quad T_{\text{rad}} \sim 1/\hat{r}^{D-2} \implies [\partial\Phi]^{\text{rad}} \sim 1/\hat{r}^{(D-2)/2}.$$

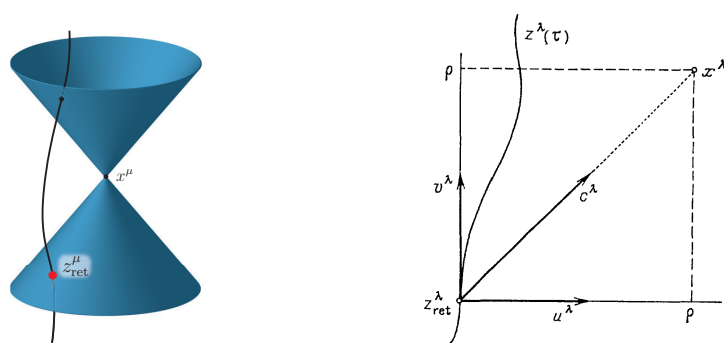


Рис. 1: Ковариантные запаздывающие величины.

Список литературы

- [1] D.I. Ivanenko and A.A. Sokolov, Sov. Phys. Doklady 26, 37 (1940).
 [2] C. Teitelboim, Phys. Rev. D 1, 1572 (1970).
 [3] B.P. Kosyakov, Phys. Usp. 35 (2), 135 (1992).
 [4] D.V. Gal'tsov and M. Khlopunov, Phys. Rev. D 101 (8), 084054 (2020).
 [5] M. Khlopunov and D.V. Gal'tsov, JCAP 04, 014 (2022).

Скалярное поле в трех измерениях

Уравнение движения скалярного поля, взаимодействующего с точечным зарядом

$$\square\varphi(x) = -j(x), \quad j(x) = g \int d\tau \delta^{(3)}(x - z).$$

Излучаемая часть поля в размерности три имеет вид [4]

$$[\partial_\mu\varphi]^{\text{rad}} = \frac{g\hat{c}_\mu}{2^{3/2}\pi\hat{r}^{1/2}} \int_{-\infty}^{\hat{\tau}} d\tau \frac{a\hat{c}}{(v\hat{c})^2\sqrt{Z\hat{c}}} \\ Z^\mu = \hat{z}^\mu - z^\mu, \quad a^\mu = d^2z^\mu/d\tau^2.$$

В нерелятивистском пределе, мощность излучения заряда записывается как

$$\frac{dW_3}{d\Omega_1} = \frac{g^2}{8\pi^2} \left[\int_{-\infty}^{\bar{t}} dt' \frac{\mathbf{n}\mathbf{a}}{\sqrt{\bar{t}-t'}} \right]^2, \quad \bar{t} = t - r.$$

Хвостовой вклад проявляется в излучении заряда на эллиптической орбите за счет сдвигов точек экстремума мощности излучения во времени с моментов прохождения зарядомperiцентра и апоцентра орбиты

$$W_3 = \frac{g^2 \omega^3 a^2}{4\pi} \int d\Omega_1 J^2, \quad J \simeq J_{(0)} + eJ_{(1)} + e^2 J_{(2)} \\ \mathbf{z}(t) = \{\rho \cos \psi, \rho \sin \psi\}, \quad \omega t = \xi - e \sin \xi \\ \rho = a(1 - e \cos \xi), \quad \cos \psi = \frac{\cos \xi - e}{1 - e \cos \xi}.$$

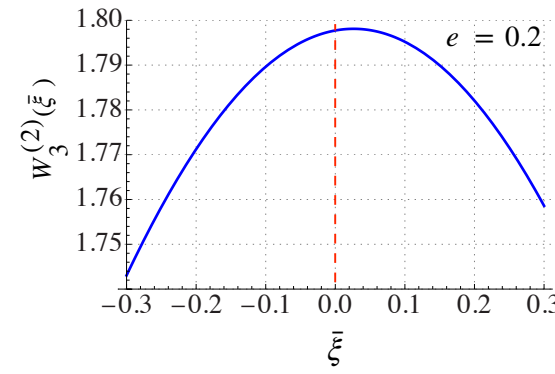


Рис. 2: Зависимость мощности излучения заряда на эллиптической орбите в размерности три от его положения на орбите.

Пятимерная квадрупольная формула

Уравнение движения возмущений пятимерного гравитационного поля, взаимодействующего с двойной системой локализованной на 3-бране

$$5\square\bar{h}_{MN} = -2\kappa_5 \delta_M^\mu \delta_N^\nu (T_{\mu\nu}^P + T_{\mu\nu}^F) \delta(x^4) \\ T_{\mu\nu}^P = \sum m_a \int d\tau_a \dot{z}_a \dot{z}_{a\nu} \delta^{(4)}(x - z_a) \\ T_{\mu\nu}^F = \frac{1}{4\pi} \left[\partial_\mu \varphi \partial_\nu \varphi - \frac{1}{2} \eta_{\mu\nu} \partial^\alpha \varphi \partial_\alpha \varphi \right].$$

Тензор энергии-импульса гравитационного поля

$$t_{MN} = \frac{1}{4\kappa_5} \langle \partial_M \bar{h}_{ij}^{tt} \partial_N \bar{h}_{ij}^{tt} \rangle \\ \bar{h}_{0M}^{tt} = 0, \quad \partial^i \bar{h}_{ij}^{tt} = 0, \quad \bar{h}_{ij}^{tt} = 0.$$

В размерности $D = 5$ гравитационное поле имеет пять поляризаций, но наблюдатель на 3-бране детектирует лишь три из них

$$\bar{h}_{ij}^{tt} = \begin{pmatrix} h_+ - \frac{1}{2}h_0 & h_x & 0 & h_\oplus \\ h_x & -h_+ - \frac{1}{2}h_0 & 0 & h_\otimes \\ 0 & 0 & 0 & 0 \\ h_\oplus & h_\otimes & 0 & h_0 \end{pmatrix} \\ h_+ = \frac{1}{2} (h_{11} - h_{22}), \quad h_x = h_{12}, \\ h_0 = \frac{2}{3} h_{44} - \frac{1}{3} (h_{11} + h_{22}).$$

Квадрупольная формула для мощности гравитационного излучения нерелятивистской двойной системы [5]

$$\frac{dW_5}{d\Omega_3} = \frac{\kappa_5}{128\pi^4} \langle \mathcal{A}_{ij}^{tt} \mathcal{A}_{ij}^{tt} \rangle, \quad \mathcal{A}_{ij} = \int_{-\infty}^{\bar{t}} dt' \frac{\mathbf{Q}_{ij}}{\sqrt{\bar{t}-t'}} \\ \frac{dW_5}{d\Omega_3} = \frac{\kappa_5}{64\pi^4} \left\langle \mathcal{A}_+^2 + \mathcal{A}_x^2 + \frac{3}{4} \mathcal{A}_0^2 + \mathcal{A}_\oplus^2 + \mathcal{A}_\otimes^2 \right\rangle.$$

Двойная система, локализованная на 3-бране, генерирует все пять поляризаций гравитационного поля. При этом дышащая мода h_0 переносит на 25% меньше энергии, чем другие поляризации.

Список литературы

- [6] G. Dvali, G. Gabadadze and M. Porrati, Phys. Lett. B 485, 208 (2000).
 [7] M. Luty, M. Porrati and R. Rattazzi, JHEP 09, 029 (2003).
 [8] M. Khlopunov and D. V. Gal'tsov, JCAP 10, 062 (2022).

Утечка излучения в DGP-модели

Скалярный аналог DGP-модели гравитации [6]

$$S = M_5^3 \int d^5 X \sqrt{-\bar{G}} \mathcal{R} \implies S = M_5^3 \int d^4 x dy (\partial_M \varphi)^2 \\ + M_4^2 \int d^4 x \sqrt{-g} R \implies + M_4^2 \int d^4 x dy \delta(y) (\partial_\mu \varphi)^2.$$

Эффективные четырехмерные уравнение движения и тензор энергии-импульса поля на 3-бране [7]

$$4\square\varphi - 2m_c \sqrt{4\square}\varphi = -\frac{1}{2M_4^2} j(x), \quad m_c = \frac{M_5^3}{M_4^2} \\ T_{\mu\nu} = 2M_4^2 \left(\partial_\mu \varphi \partial_\nu \varphi - \frac{1}{2} \eta_{\mu\nu} \partial^\alpha \varphi \partial_\alpha \varphi \right).$$

Гравитон на бране является метастабильной частицей со временем жизни $1/m_c$. Это приводит к утечке гравитационных волн с браны на больших расстояниях от источника. Запаздывающая функция Грина поля на 3-бране

$$G_{DGP}(x) = \frac{1}{\pi} \int_0^\infty d\mu \rho(\mu) G_4(x|\mu), \quad \rho(\mu) = \frac{4m_c^2}{\mu^2 + 4m_c^2} \\ G_4(x|\mu) = \frac{\theta(t)}{2\pi} \left[\delta(x^2) J_0(\mu\sqrt{x^2}) - \frac{1}{2} \frac{\theta(x^2)}{\sqrt{x^2}} \mu J_1(\mu\sqrt{x^2}) \right].$$

Излучаемая часть поля точечного заряда на бране в нерелятивистском пределе

$$[\partial_\mu \varphi]^{\text{rad}} = -\frac{g\bar{c}_\mu}{8\pi^2 M_5^3 r} \int_{-\infty}^{\bar{t}} dt' \mathbf{n} \dot{\mathbf{a}} \int_0^\infty d\mu \rho(\mu) \\ \times J_0(\mu\sqrt{2r(\bar{t}-t')}), \quad \bar{c}^\mu = \{1, \mathbf{n}\}.$$

Эффективная четырехмерная мощность излучения заряда на круговой орбите [8]

$$W(r) = W_0 \left[1 - 2C(x) - 2S(x) + 2C^2(x) + 2S^2(x) \right] \\ W_0 = \frac{g^2 R^2 \omega^4}{24\pi M_4^2}, \quad x \equiv \sqrt{2r/\bar{\omega}}, \quad \bar{r} = rm_c, \quad \bar{\omega} = \frac{\omega}{m_c},$$

где $S(x)$, $C(x)$ – интегралы Френеля. Вводя нормированную мощность излучения \bar{W} и определяя интенсивность утечки излучения с браны $\Delta\bar{W}$ как

$$\bar{W}(\bar{r}) = W(\bar{r})/W_0, \quad \Delta\bar{W} = 1 - \bar{W}(1),$$

находим, что для $m_c \sim 10^{-42}$ ГэВ интенсивность утечки излучения крайне мала [8]

- LIGO/VIRGO: $\Delta\bar{W} \sim 2 \cdot 10^{-10}$,
- LISA: $\Delta\bar{W} \sim 9 \cdot 10^{-8}$,
- Реалистичный случай: $\Delta\bar{W} > 10^{-2} \leftrightarrow m_c > 10^{-27}$ ГэВ.

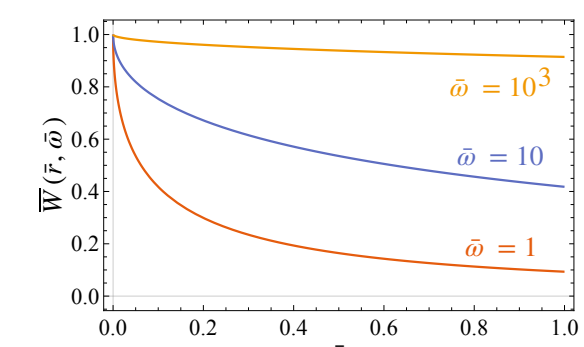


Рис. 3: Зависимость эффективной мощности излучения заряда на круговой орбите на бране от расстояния до наблюдателя.

Заключение

- В нечетных размерностях излучение можно вычислить интегрированием потока энергии в волновой зоне с помощью применения подхода Рорлиха-Тейтельбайма к излучению.
- Поток энергии излучения зависит от истории движения источника, предшествующей запаздывающему времени.
- В модели скалярного поля в трех измерениях показано наличие нелокального хвостового сигнала в излучении заряда на эллиптической орбите.
- Получена пятимерная квадрупольная формула для мощности гравитационного излучения нерелятивистской двойной системы на 3-бране.
- В скалярно-полевом аналоге DGP-модели оценена интенсивность утечки излучения с браны для случая нерелятивистского заряда на круговой орбите.
- Для $m_c \sim 10^{-42}$ ГэВ интенсивность утечки излучения крайне мала и недоступна для экспериментального наблюдения.
- Утечка излучения может быть обнаружена при больших значениях характерной массы DGP-модели $m_c > 10^{-27}$ ГэВ.